

Расчетно – теоретический анализ ультразвукового воздействия на загрязнения обратноосмотической мембраны

д.т.н. проф. Гонопольский А.М., Стомпель С.И., Ph. D. Ладыгин К.В.

Университет машиностроения
ООО «Безопасные технологии», Санкт-Петербург
amgonopolsky@mail.ru

Аннотация. Рассмотрен процесс ультразвукового воздействия на загрязнения обратноосмотической мембраны.

Ключевые слова: фильтрация, обратный осмос, ультразвуковая обработка

Применение ультразвуковой обработки в сочетании с традиционными приемами очистки поверхностей технологических аппаратов [1, 2] позволяет решить многие проблемы, возникающие при эксплуатации инженерно-экологических систем, в том числе, удаление образующихся слоев на их рабочих поверхностях. При наличии колебаний давления стока имеющего плотность ρ_1 вблизи поверхности возможны резонансные колебания пограничного слоя на ней, которые могут привести к его срыву и, как результат, к интенсификации гидродинамических, фильтрационных и массообменных процессов. Для анализа этого явления применительно к обратноосмотическим технологиям, рассмотрим осажденную на поверхность мембраны единичную жидкую сферическую частицу радиуса R , плотностью $\rho_2 \geq \rho_1$, при скольжении ее под влиянием волн УЗ-давления P относительно объема воды в пограничном слое на мембране. Будем считать в первом приближении, что плотность потока очищаемого стока ρ_1 (однородная по всей площади мембраны) пульсирует периодически и синхронно со скоростью частицы.

Пусть \hat{U} – модуль полной скорости части на поверхности мембраны относительно потока. Тогда $\hat{U} = V + V'$, где V – постоянная составляющая скорости, V' – пульсационная составляющая скорости.

Для данного случая потенциал Φ пульсирующей скорости возмущенного движения частицы и окружающей частицу среды удовлетворяет уравнению Лапласа

$$\frac{\partial}{\partial r} \left(r^2 \frac{\partial \Phi}{\partial r} \right) + \frac{1}{\sin \theta} \frac{\partial}{\partial \theta} \left(\sin \theta \frac{\partial \Phi}{\partial \theta} \right) + \frac{1}{\sin^2 \theta} \frac{\partial^2 \Phi}{\partial \varphi^2} = 0 \quad (1)$$

здесь r, θ, φ – сферические координаты.

При этом скорости возмущения связаны с Φ – соотношениями его определяющими

$$v_r = \frac{\partial \Phi}{\partial r}; \quad v_\varphi = \frac{1}{r \sin \theta} \frac{\partial \Phi}{\partial \varphi}; \quad v_\theta = \frac{1}{r} \frac{\partial \Phi}{\partial \theta}. \quad (2)$$

Давление определяется интегралом Лагранжа-Коши, который для малых возмущений скоростей имеет вид

$$\frac{p}{\rho} = -\frac{\partial \Phi}{\partial t} - \frac{v^2}{2}; \quad v^2 = v_r^2 + v_\varphi^2 + v_\theta^2, \quad (3)$$

где t – время. Решения (2) будем искать в виде

$$\Phi_1(r, \varphi, \theta, t) = u_1(r, \varphi, \theta) \cdot T_1(t); \quad \Phi_2(r, \varphi, \theta, t) = u_2(r, \varphi, \theta) \cdot T_2(t), \quad (4)$$

где индексы 1, 2 относятся к стоку и частицам загрязнений соответственно:

u, T – модельные функции.

В качестве граничных условий рассмотрим непрерывность нормальных составляющих

$$\frac{\partial \Phi_1}{\partial r} = \frac{\partial \Phi_2}{\partial r} \text{ при } r = R \quad (5)$$

и равенство разности давлений внутри P_1 и вне P_2 сферы поверхностному натяжению

$$\sigma H = p_1 - p_2, \quad (6)$$

где σ – коэффициент поверхностного натяжения, H – средняя кривизна возмущенной поверхности частицы, которая в соответствии с уравнением Пуассона может быть записана в виде

$$H = -\frac{2}{R^2} \xi - \frac{1}{R^2} \left\{ \frac{1}{\sin \theta} \frac{\partial}{\partial \theta} \left(\sin \theta \frac{\partial \xi}{\partial \theta} + \frac{1}{\sin^2 \theta} \frac{\partial^2 \xi}{\partial \varphi^2} \right) \right\}, \quad (7)$$

где ξ – радиальное смещение поверхности, определяемое соотношением:

$$\frac{\partial \xi}{\partial t} = T_1 \frac{\partial u_1}{\partial r} \text{ при } r = R. \quad (8)$$

Так как в соответствии с (3) при сохранении осевой симметрии частицей

$$\frac{p_1}{\rho_1} = -u_1 T_1' - \frac{T_1}{2} \left(\frac{\partial u_1}{\partial r} \right)^2; \quad \frac{p_2}{\rho_2} = -u_2 T_2' - T_2 \left(\frac{\partial u_2}{\partial r} \right)^2 \quad (9)$$

(штрихом обозначено дифференцирование по t), то из (8) и (9) следует, что

$$\frac{\partial u}{\partial r} T_1 = T_2 \frac{\partial u_2}{\partial r} \text{ при } r = 0 \text{ и}$$

$$\rho_1 u_1 T_1' - \frac{T_1}{2} \left(\frac{\partial u_1}{\partial r} \right)^2 + \rho_2 u_2 T_2' + T_2 \left(\frac{\partial u_2}{\partial r} \right)^2 = \sigma H \text{ при } r = R. \quad (10)$$

Преобразуем граничные условия. Учитывая, что

$$\frac{\partial \xi}{\partial t} = v_r = \frac{\partial \Phi}{\partial t}$$

продифференцируем выражение (7) при $r=R$ с учетом (10)

$$H' = \frac{\partial}{\partial r} \left\{ -\frac{2\Phi_2}{R^2} + \frac{1}{R} \frac{\partial}{\partial r} \left(r^2 \frac{\partial \Phi_2}{\partial r} \right) \right\} = \left(\frac{\partial^3 u_2}{\partial r^3} + \frac{4}{R} \frac{\partial^2 u_2}{\partial r^2} \right) T_2 \quad (11)$$

Подставив этот результат в продифференцированное выражение (10) получим

$$\begin{aligned} -\frac{\rho_1 u_1}{\frac{\partial u}{\partial r}} \frac{\partial u_2}{\partial r} T_2'' + \rho_2' u_2 T_2 + \rho_2 u_2 T_2' + \frac{T_2'}{2} \left[-\rho_1 \frac{\partial u_2}{\partial r} \cdot \frac{\partial u_1}{\partial r} + \rho_2 \left(\frac{\partial u_2}{\partial r} \right)^2 \right] + \\ + \frac{T_2}{2} \left[-\rho_1 u_2 \frac{\partial^2 u}{\partial r^2} \cdot \frac{\partial u_2}{\partial r} + \rho_2' \left(\frac{\partial u_2}{\partial r} \right)^2 + 2\rho_2 u_2 \frac{\partial u_2}{\partial r} \cdot \frac{\partial^2 u_2}{\partial r^2} \right] = \\ = \sigma T_2 \left[\frac{\partial^3 u_2}{\partial r^3} + \frac{4}{R} \cdot \frac{\partial^2 u_2}{\partial r^2} \right] \end{aligned} \quad (12)$$

Для рассматриваемого случая решение может быть представлено в виде двух взаимодействующих сферических функций [2]:

$$u_1 = \left(\frac{r}{R}\right)^n S_{mn}; \quad u_2 = \left(\frac{r}{R}\right)^{-n-1} S_{mn}, \quad (13)$$

где S – поверхностная сферическая функция, m, n – собственные числа. Подставляя (13) в (12), получим уравнение для T_2

$$\begin{aligned} & [\rho_1(n+1) + \rho_2 n] T_2'' + \rho_2' n T_2' + \frac{\sigma}{R^3} (n+2)(n+1)n(n-1) T_2 T_2' \frac{\rho_1(n+1)n + \rho_2(n+1)^2}{R^2} + \\ & + \frac{T_2}{R^3} \left[(n+2)(n+1) [-2(n+1)\rho_2 - n\rho_1] + n(n^2-1)\rho_1 + (n+1)^2 \rho_2' R \right] = 0. \end{aligned} \quad (14)$$

Обозначим отношение плотностей через ρ и будем, как и ранее полагать, что ρ – гармоническая функция времени, т.е.

$$\rho = \rho_0 (\varepsilon \cos \omega t), \quad (15)$$

где ρ_0 – отношение средней по времени плотности потока к плотности частиц; ε – безразмерная амплитуда малых колебаний плотности среды, ω – круговая частота накладываемых колебаний плотности.

Заменой переменных $Z(x) = T \sqrt{\rho n + n + 1}$, приведем уравнение (14) к виду

$$z'' + kz' + yz = 0. \quad (16)$$

Здесь

$$Y = \frac{\sigma n(n+1)(n+2)}{\rho_0 R^3 \omega^2} + \frac{\rho_0 n \varepsilon}{2(n+1)} \cos \omega t - \frac{n^3 \rho_0 \varepsilon}{2R^2(n+1)} \sin \omega t. \quad (17)$$

В соответствии с заменой переменных, штрихом обозначено дифференцирование по x . Еще одной заменой переменных $z(x) = \eta(v)$, $x = \cos^2 v$ уравнение (16) приводится к виду

$$\eta'' - 2(a \cos^2 v + b)\eta = 0, \quad (18)$$

$$\text{где } b = \frac{2(n-1)n(n+2)}{\rho_1 R^3} \sigma + \frac{n^2}{R^2}; \quad a = \frac{\rho_0 n \varepsilon}{n+1} + \frac{v n^3 \rho_0 \eta}{R^2(n+1)}.$$

Так как η – есть периодическая функция времени, то уравнение (18) представляет собой частный случай уравнения Хилла – уравнение Матье. Этого результата следовало ожидать, ибо, как показано в [4], задача исследования устойчивости периодических решений нелинейных систем всегда приводит к уравнению Хилла. Следовательно, колебания поверхности загрязненной мембраны в потоке будут происходить устойчиво, (без разрыва, т.е. без разрушения осажденного слоя), если все решения (18) ограничены для всех положительных t и будет происходить срыв осажденной на мембране частицы в поток, если хотя бы одно решение (18) неограниченно.

Решения (18), обладают тем свойством, что они умножаются на константу при v , изменяющемся на величину периода ψ , т.е.

$$\eta(v) = Z(x) = Z(x + \psi) = xz(z), \quad x = \text{const}$$

при всех z .

Такие решения называют нормальными. В рассматриваемом случае в соответствии с [5] общее решение (18) представляет собой сумму нормальных решений, которые в свою очередь могут быть записаны, как произведения экспоненциальной функции и периодической функции с периодом ψ [5]

$$Z = c_1 e^{\mu x} \varphi(x) + c_2 e^{-\mu x} \varphi(x), \quad (19)$$

где $\varphi(x)$ – периодическая функция; μ – характеристический показатель, зависящий от параметров «а» и «b», и определяющий характер решения.

При исследовании устойчивости колебаний частицы загрязнения на поверхности мембраны обратимся к диаграмме устойчивости решений уравнения Матье [3, 4]. Как известно, области устойчивости на этой диаграмме соприкасаются между собой в точках $a=b^2/4$; $\dot{g}=0$ ($b=0, 1, 2, \dots, n$). Эти точки соответствуют линейно независимым периодическим решениям типа

$$Z_1(x) = \sin \frac{bx}{2}; \quad Z_2(x) = \cos \frac{bx}{2}. \quad (20)$$

При $Z=0$ все остальные периодические решения (20) стремятся к выражениям, отличающимся от (20) лишь постоянным множителем. Из (20) следует, что

$$\frac{x}{2} = \frac{\pi}{4} + \pi n. \quad (21)$$

Этому значению x , как показано в [5], соответствует соотношение, которое справедливо для точек на границах областей устойчивости решений уравнений Матье. Для этих точек значение характеристического показателя соответствует

$$\mu_{\max} = -\frac{1}{2} \bar{q} + \frac{3}{128} \bar{q}^3 \approx -\frac{1}{2} \bar{q}. \quad (22)$$

Естественно, что разрушение слоя осажденных на мембране частиц возникает при резонансных колебаниях среды и самих частиц, а эти последние имеют собственную круговую частоту в соответствии с [6]

$$w_p \approx \sqrt{\frac{\sigma}{\rho_1 R^3}} \sqrt{n(n-1)(n+1)}. \quad (23)$$

Оценить время распада частицы можно, зная скорость нарастания колебаний ее поверхности Z . При этом нас интересует Z , соответствующее условиям резонанса.

Так как радиальное смещение поверхности частицы можно записать в виде

$$\xi \sim e^{\mu t} = e^{\omega t}, \quad \text{то } Z = \mu \omega. \quad (24)$$

Откуда следует, что $Z_{\max} = \omega_p \mu_{\max}$. Следовательно, как было отмечено в [7], в условиях резонанса собственных колебаний и внешнего потока, чем выше форма колебаний, т.е. чем больше n , тем быстрее распадается слой осажденных на мембране частиц. В соответствии с (24), используя (16), выражение для оценки времени распада слоя можно записать как

$$t_{\text{расч}} = -\frac{1}{Z_{\max}} \ln \frac{\xi_{0\max}}{R} = -\frac{\ln \xi_{0\max}}{Z_{\max}}, \quad (25)$$

где ξ_0 – отклонение поверхности частицы до начала колебаний.

В безразмерном виде выражение (25) можно представить как

$$\tau_{\text{расп}} = -\frac{\ln \xi}{\sqrt{n(n-1)(n+1)(n+2) \left(\frac{\rho_0 n \varepsilon}{n+1} - \frac{n_3 M_3 \varepsilon \omega}{R^2 (n+1)} \right)}}, \quad \text{где } \tau_{\text{расп}} = t \sqrt{\frac{\sigma}{\rho_1 R^3}}. \quad (26)$$

Выражения (25) и (26) позволяют определить отношение времени распада слоя осажденных частиц к периоду колебаний внешнего потока на резонансной частоте

$$\frac{t_{\text{расч}}}{T} = \frac{n+1}{2\pi n} \cdot \frac{\ln \xi_{0\text{max}}}{\rho_0 n \varepsilon (1 - \omega n^2 / R^2)}. \quad (27)$$

Отметим, что $\xi_0 = \xi_{0\text{max}}$, только для твердой сферической частицы. Что же касается жидкой частицы в воде, то по мере того, как происходит ее осаждение, жидкая частица приобретает характерную плоскую форму. При этом $\xi_{0\text{max}}$ может рассматриваться, как функция разности скоростей фаз, лобового сопротивления частицы, ее начального радиуса и теплофизических свойств.

В работах [8, 9] показано, что для капельных маловязких жидкостей изменение формы частицы, т.е. $\xi_{0\text{max}}$ хорошо аппроксимируется экспериментальным соотношением

$$\xi_{0\text{max}} = \exp[0,03(2We)^{1,5}],$$

где We – число Вебера. Тогда

$$\frac{t_{\text{расч}}}{T} \approx \frac{0,133(n+1)We^{1,5}}{\rho_0 n \varepsilon \alpha_* (1 - M^2)},$$

где $\alpha_* = const$.

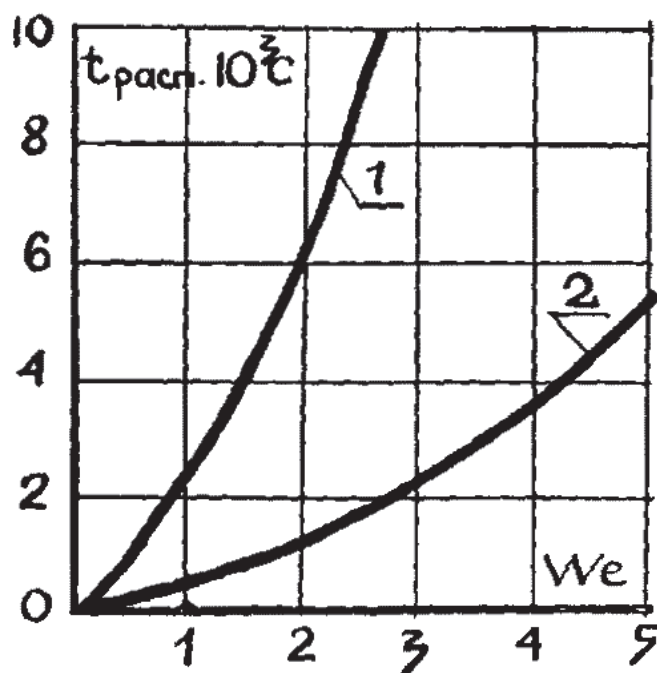


Рисунок 1. Зависимость времени дробления t частиц, осажденных в порах обратноосмотической мембраны от числа Вебера в пульсирующем потоке воды: 1 – радиус поры $R=10^{-4}$ м, 2 – радиус поры $R=10^{-6}$ м.

Рассмотрим в качестве иллюстрации к изложенному, результаты расчета зависимости $t_{\text{расп}}$ от We при условии, что жидкие осажденные на мембрану частицы распадаются по крайней мере на две части, т.е. $n=2$

Результаты расчета, для частиц, осажденных из рассола на поверхность обратноосмотической мембраны высокого давления, приведены на рисунке 1.

Если учесть, что для выпускаемых промышленностью мембранных картриджей в их объеме находится одномоментное количество фильтрата около 1 дм^3 , то $t_{\text{проб}}$ можно оценить в $\sim 10^3$ с. Размеры осажденных частиц будем полагать равными размерам пор обратноосмотической мембраны $R \approx 10^{-4} - 10^{-6}$ м. Следовательно, при ($We > 2,5$) все частицы гаранти-

рованно подвергнутся однократному срыву с осажденного слоя.

Оценим теперь размеры частиц, подвергающихся УЗ – воздействию при разрушении осажденного слоя. Так, как при фильтрации стока на обратноосмотических мембранах температура должна быть близка к комнатной, свойства стока близки к свойствам воды ($\rho=1000$ кг/м³, $\sigma=1,5 \cdot 10^{-4}$ Н/м²), то при скорости потока $V_0=0,01-0,05$ м/с, для частиц имеющих характерный размер $R \approx 10^{-4} - 10^{-6}$ м, частоты обеспечивающие срыв частицы находятся в интервале 10 – 25 кГц.

Отметим, что дробление слоя частиц, возникающее в том случае, если инерционные силы превосходят поверхностное натяжение, происходит при $We = (5 \div 7)$, следовательно, при выбранных параметрах пульсационное дробление слоя весьма существенно влияет на процесс фильтрации.

Литература

1. Систер В.Г., Гонопольский А.М., Кривобородова Е.Г. К вопросу очистки сточных вод от тяжелых металлов //Безопасность в техносфере, №1/2007, январь-февраль, с. 36-42
2. Систер В.Г., Гонопольский А.М., Карпова Е.В. Критериальное обобщение результатов экспериментальных исследований процесса реагентной флотации в акустическом поле// Сборник научных трудов МГУИЭ. Инженерная экология: Проблемы города, промышленности, подготовки кадров, - М., 2006 г.
3. Гонопольский А.М. Влияние пульсаций потока плазмы на качество покрытий при плазменном напылении. Тр. ВНИИ Автогенмаш: Качество и эффективность автогенного оборудования и процессов. М., ЦИНТХИМНЕФТЕМАШ, 1982, стр. 33-40
4. Стокер Дж. Нелинейные колебания в механических и электрических системах. -М.: ИЛ. 1953, с 185
5. Стретт М.-Д.О. Функции Ламе, Матье и родственные им в физике и технике. Харьков, ИФТЛ. 1935.
6. Ламб Г. Гидродинамика. М., ОТИЗ, 1947
7. Бородин В.А. и др. Распыливание жидкостей. М., Машиностроение, 1967.
8. Раушенбах Б.В. Физические основы рабочего процесса в камерах сгорания воздушно-реактивных двигателей. Л., Машиностроение, 1964
9. Неустойчивость горения в ЖРД. Сб. статей под ред. Харрье Уотерсона (перевод с англ.) М., Мир, 1975

Утилизация органических отходов на основе производства биогаза

д.т.н. проф. Щербаков В.И.¹, к.т.н. проф. Гогина Е.С.², к.т.н. проф. Щукина Т.В.¹,
Кузнецова Н.В.¹

¹ФГБОУ ВПО «Воронежский ГАСУ»

²ФГБОУ ВПО «МГСУ»,

scher@vgasu.vrn.ru, iesm@mgsu.ru, Schukina.niki@yandex.ru, polecat_3@mail.ru

Аннотация. Оцениваются ресурсы сырья необходимого для производства альтернативного топлива. Для определения эффективности возможной конверсии предложено уравнение материального баланса, результатом решения которого является концентрация метана в получаемом биогазе. Прогнозируется дальнейшее совершенствование существующих конструкций метантенков, повышающее степень переработки отходов при условии минимального энергопотребления.

Ключевые слова: органические отходы, метантенки, биогаз.

Внедряемые технологии утилизации органических отходов позволяют перерабатывать различные виды сырья: навоз, птичий помет, бытовые сточные воды, зерновая и меласная после спиртовая барда, свекольный, фруктовый, ягодный и овощной жом, травяной силос,